

سینتیک احیای کربوترمی مولیبدنیت در حضور اکسید منیزیم

خدیجه بیرانوند^{۱*}، محمدحسن عباسی^۲، علی سعیدی^۳

۱- کارشناس ارشد، دانشکده مهندسی مواد، استخراج فنازات، دانشگاه صنعتی اصفهان، ایران

۲- استاد، دانشکده مهندسی مواد، دانشگاه صنعتی اصفهان، ایران

۳- استاد، دانشکده مهندسی مواد، دانشگاه صنعتی اصفهان، ایران

* عهده دار مکاتبات: kh.biralvand@gmail.com

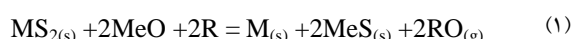
(تاریخ دریافت: ۱۰/۰۷/۱۵، تاریخ پذیرش: ۱۳۹۸/۰۷/۱۵)

چکیده: در این پژوهش، سینتیک احیای کربوترمی مولیبدنیت در حضور اکسید منیزیم مورد بررسی قرار گرفت. نمونه‌های پودری با نسبت استوکیومتری (مولیبدنیت: اکسید منیزیم: گرافیت ۱:۲:۱) تهیه و تحت آزمون آنالیز حرارتی همزمان (STA)، با سه نرخ حرارتی ۱۰، ۱۵ و ۲۰ درجه بر دقيقه، قرار گرفتند. به منظور تعیین فازهای میانی تشکیل شده در طول فرآيند، يك سري آزمایش‌های هم‌دمای تحت اتمسفر آرگون صورت گرفت. نتایج نشان داد که فرآيند در محدوده دمایي ۹۰۰°C تا ۱۴۰۰°C امکان‌پذیر بوده و با تشکیل فازهای میانی اکسید مولیبدن (MoO₂) و مولیبدات منیزیم (MgMoO₄) پيش می‌رود. بررسی‌های سینتیکی با روش‌های بدون مدل فریدمن، اوزاوا، کسینجر و روش برازش مدل کوتز - ردفرن انجام شد. نتایج حاصل از تمامی روش‌ها تطابق خوبی با يكديگر داشته و حاکی از آن بودند که مکانیزم حاكم بر واکنش کنترل شیمیایی و مقدار انرژی اکتیواسیون آن در حدود ۴۲۵ kJ/mol می‌باشد.

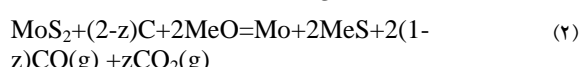
واژه‌های کلیدی:

سینتیک، احیای کربوترمی، مولیبدنیت، اکسید منیزیم.

مختلف در حضور عامل جاذب گوگرد، به صورت زیر بیان شده است [۳]:



R می‌تواند هریک از عوامل احیایی نظری هیدروزن، کربن، منوكسید کربن و... باشد. تحقیقات حاکی از آن است که استفاده از عوامل گازی با مشکلات زیادی همراه بوده [۴-۶] لذا احیای کربوترمی، به عنوان یک روش مناسب‌تر، برای استخراج مولیبدن از مولیبدنیت مطرح می‌باشد. برای چنین سیستمی واکنش زیر محتمل خواهد بود:



۱- مقدمه

مولیبدن، فلزی ارزشمند است که در صنایع مختلف نظری تولید فولاد، صنایع الکتریکی و الکترونیکی، انرژی هسته‌ای و نفت کاربرد دارد. مولیبدنیت، مهم‌ترین کانی مولیبدن به شمار می‌رود. رایج‌ترین روش صنعتی تولید مولیبدن از مولیبدنیت تشویه است که با مشکلات زیادی از قبیل آلدگی‌های زیست‌محیطی به دلیل تولید و پخش گاز SO₂، هدر رفتن مولیبدن به دلیل فرار بودن ترکیبات اکسیدی آن، طولانی بودن روند احیا و زیاد بودن هزینه تولید، همراه بوده است [۲-۱]. با ورود عاملی با قابلیت جذب گوگرد، می‌توان مشکلات مذکور را تا حدود زیادی برطرف نمود. واکنش احیای سولفیدهای

۲- مواد و روش تحقیق

در این پژوهش، از پودرهای مولیدنیت و اکسید منیزیم محصول شرکت مرک آلمان و گرافیت محصول شرکت فلوکا استفاده شد. مشخصات کامل مواد اولیه مذکور در جدول (۱) ارائه شده است. کلیه مخلوطهای پودری با توجه به واکنش (۴)، به نسبت استوکیومتری مخلوط شده‌اند (مولیدنیت: گرافیت: اکسید منیزیم ۱:۲:۲).

جدول (۱): مشخصات مواد اولیه

پودر مصرفی	مولیدنیت	گرافیت	اکسید منیزیم
مانگین اندازه ذرات (µm)	۱۰	۸۰	۱۲۰
خلوص	۹۹٪	۹۹٪	۹۹٪

به منظور شناسایی فازها و نیز بررسی تغییرات فازی ایجاد شده در طول فرآیند، از دستگاه پراش پرتو ایکس از نوع Philips (مدل MPD-XPERT) با ولتاژ ۴۰ kV و جریان ۳۰ mA استفاده شد. محدوده روشن ۱۰۰ تا ۱۰۰۰ اندازه گام روش استفاده شد. همچنین از دستگاه میکروسکوپ الکترونی XL30 SERIES (SEM)، از نوع Philips مدل ۵۰۳ STA به منظور بررسی مورفولوژی مواد اولیه، استفاده گردید. در شکل‌های ۱ تا ۳، الگوی پراش پرتو ایکس و تصویر میکروسکوپ الکترونی روشنی، پودرهای مذکور نشان داده شده است. به منظور بررسی‌های سیتیکی و تعیین دمای احیای کربوترمی مولیدنیت، از روش TGA-DTA، استفاده شد. بدین منظور از دستگاه STA 503، ساخت شرکت BAHR-Thermoanalyse GmbH در اتمسفر آرگون و با سرعت‌های گرم شدن ۱۰، ۱۵ و ۲۰ درجه بر دقیقه، حرارت داده شدند. وزن اولیه تمامی نمونه‌ها یکسان و برابر ۳۰ میلی‌گرم انتخاب شد. برای بررسی‌های سیتیکی و تعیین مدل حاکم بر واکنش احیا، از روش‌های فریدمن، اوزاوا، کسینجر و کوتز- ردفرن استفاده شد. به منظور تعیین فازهای میانی تشکیل شده در طول فرآیند، یک سری آزمایش‌های هم‌دما تحت اتمسفر آرگون و برای

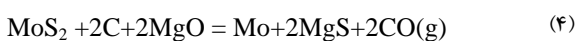
Z به ترمودینامیک و سرعت واکنش‌های میانی، وابسته است. تحقیقات متعددی، در زمینه احیای کربوترمی مولیدنیت در حضور عامل جاذب گوگرد نظری آهک، صورت گرفته است. در این تحقیقات مشاهده شد که مخلوط CaO و MoS₂ در حضور کربن ناپایدار بوده و به صورت CaMoO₄+CaS یا Mo₂C+CaS بررسی‌های سیتیکی نیز حاکی از آن بود که فرایند مورد نظر کنترل شیمیایی بوده و در معادله زیر صدق می‌کند:

$$\ln(1-X) = KT \quad (۳)$$

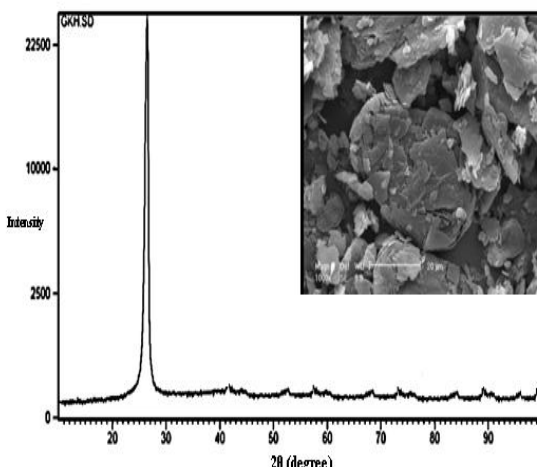
X: کسر مولیدنیت واکنش کرده در زمان t

K: ثابت سرعت واکنش

معادله (۳)، به صورت گسترده در بررسی سیتیکی احیای اکسید فلزات مختلف مورد استفاده قرار گرفته، این در حالی است که واکنش گازی شدن کربن با CO₂ مرحله کنترل کننده فرآیند بوده است [۹-۱۰]. در سال‌های اخیر احیای کربوترمی مولیدنیت در حضور کربنات سدیم نیز موردنبررسی قرار گرفت، نتایج نشان داد که واکنش احیای کربوترمی مولیدنیت در حضور کربنات سدیم با تشکیل فازهای میانی مولیدنات سدیم و اکسید مولیدن پیش می‌رود. همچنین مدل حاکم بر واکنش، مدل کنترل شیمیایی بوده است [۱۱]. اکسید منیزیم نیز به عنوان یک عامل جاذب گوگرد مهم در صنعت مطرح می‌باشد. بررسی‌های ترمودینامیکی، پیرامون احیای کربوترمی مولیدنیت در حضور اکسید منیزیم، نشان دادند که فرآیند مذکور از لحظه ترمودینامیکی، در محدوده دمایی ۹۰۰°C تا ۱۴۰۰°C ممکن پذیر بوده و با تشکیل فازهای میانی نظری MoO₂ و MgMoO₄ پیش خواهد رفت. در این تحقیق واکنش کلی احیای کربوترمی مولیدنیت در حضور اکسید منیزیم، به صورت زیر در نظر گرفته شده است [۱۲]:



در این پژوهش، سیتیک احیای کربوترمی مولیدنیت در حضور اکسید منیزیم، مکانیزم و مدل حاکم بر واکنش احیا موردنبررسی قرار گرفته است.

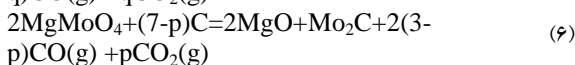
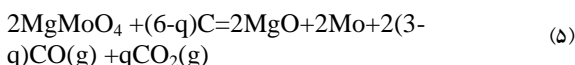


شکل (۳): الگوی پراش پرتو ایکس و تصویر میکروسکوپ الکترونی
گرافیت خالص

۳- نتایج و بحث

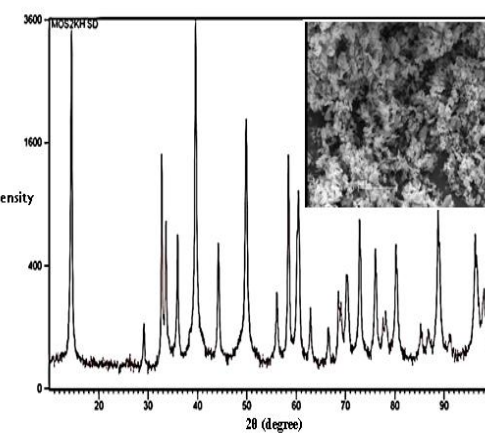
۳-۱- فرآیند احیا

منحنی سرعت کاهش وزن (DTG)، مربوط به مخلوط مورد نظر (مولیبدنیت: گرافیت: اکسید منیزیم ۱:۲:۲) در شکل ۴ ارائه شده است. دو پیک شاخص در این منحنی قابل تشخیص می باشد. پیک اول با پیشرفت واکنش و بالا رفتن دما با پیک اصلی هم پوشانی دارد. بررسی های ترمودینامیکی حاکی از آن بود که فرایند احیا، با تشکیل فازهای میانی نظیر $MgMoO_4$ پیشرفت می کند [۱۲]. لذا به نظر می رسد که در ابتدا (مرحله ۱)، فاز میانی مذکور توسط کربن (احیا در حالت جامد) مطابق با واکنش های زیر پیش رفته است:

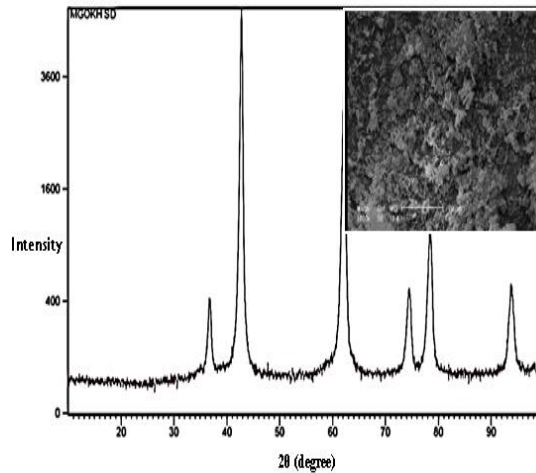


q و p به ترمودینامیک واکنش های مذکور وابسته اند. با پیشرفت واکنش در دماهای بالا واکنش بودوارد فعال شده و احیا در حالت جامد- گاز، انجام می شود (مرحله ۲) و به این ترتیب فرآیند احیا تسريع می گردد.

مدت زمان مشخص صورت گرفت (زمان تمامی آزمایش های هم دما: یک ساعت). جهت انجام آزمایش های هم دما، از یک کوره لوله ای ساخت شرکت کربولايت انگلستان استفاده شد. احیا در این کوره در اتمسفر خنثی آر گون با دبی ۰/۲ lit/min انجام شده است. به منظور جلوگیری از اکسید شدن نمونه ها، بر روی آنها پودر آلومینا ریخته شد. محصولات حاصل از آزمایش هم دما با استفاده از آنالیز تفرق اشعه ایکس (XRD)، مورد فازیابی قرار گرفتند.



شکل (۱): الگوی پراش پرتو ایکس و تصویر میکروسکوپ الکترونی
مولیبدنیت خالص

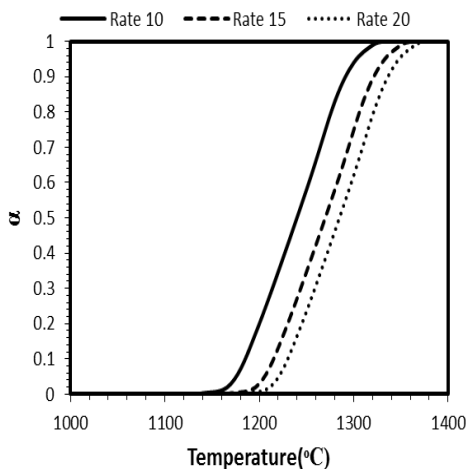


شکل (۲): الگوی پراش پرتو ایکس و تصویر میکروسکوپ الکترونی
اکسید منیزیم خالص

۲-۳- سینتیک احیا با روش‌های بدون مدل

روش‌های بدون مدل، بر این اساس استوار هستند که سرعت واکنش در یک کسر پیشرفت مشخص، فقط تابع دما خواهد بود. با توجه به نمودارهای DTG و کسر انجام واکنش، (شکل‌های ۴ و ۵) مشاهده شد که فرآیند مذکور طی دو مرحله انجام شده و بخش عمده واکنش در مرحله دوم بوده لذا محاسبات سینتیکی، برای این مرحله صورت گرفته است؛ بنابراین این مرحله، به عنوان مرحله‌ای جداگانه در نظر گرفته شده و مقادیر کسر انجام واکنش، در محدوده صفر تا یک تعیین شده است.

با توجه به نمودارهای رسم شده در شکل ۶، مشاهده می‌شود که روند تغییرات کسر انجام واکنش با توجه به سرعت‌های گرم شدن ۱۰، ۱۵ و ۲۰ درجه سانتی گراد بر دقيقه کاملاً مشابه است؛ بنابراین سرعت واکنش در یک کسر پیشرفت مشخص از واکنش، فقط تابع دما بوده و استفاده از روش‌های بدون مدل برای این نمونه‌ها صحیح می‌باشد.



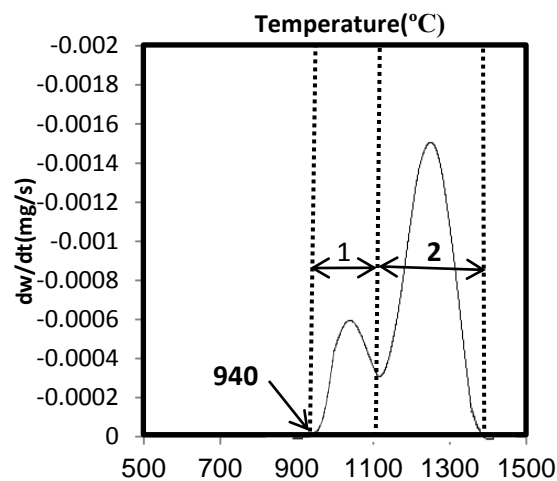
شکل (۶): تغییرات کسر انجام واکنش بر حسب دما در سه نرخ حرارتی متفاوت

- روش‌های فریدمن و اوزاوا

رابطه فریدمن به صورت زیر ارائه شده است [۱۳]:

$$\ln\left(\frac{da}{dt}\right) = \ln\left(\beta \frac{da}{dT}\right) = \ln[Af(\alpha)] - \frac{E_a}{RT} \quad (8)$$

در این رابطه نمادهای α ، β و E به ترتیب کسر انجام واکنش، سرعت گرم کردن، ضریب پیش نمایی و انرژی فعال‌سازی واکنش می‌باشند. $f(\alpha)$ در رابطه مذکور تابعی از α است که به مکانیزم واکنش وابسته می‌باشد و شکل

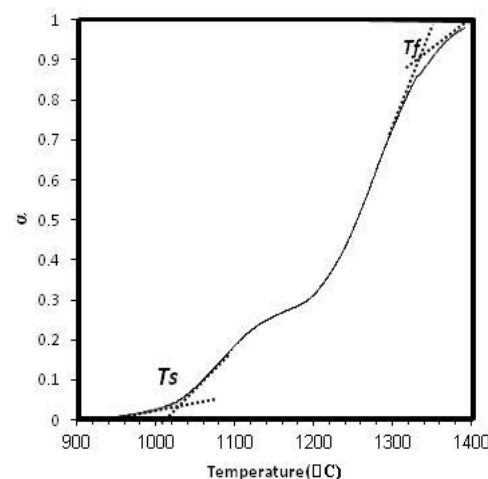


شکل (۴): منحنی DTG (نرخ حرارت دهنده ۱۰ °C/min).

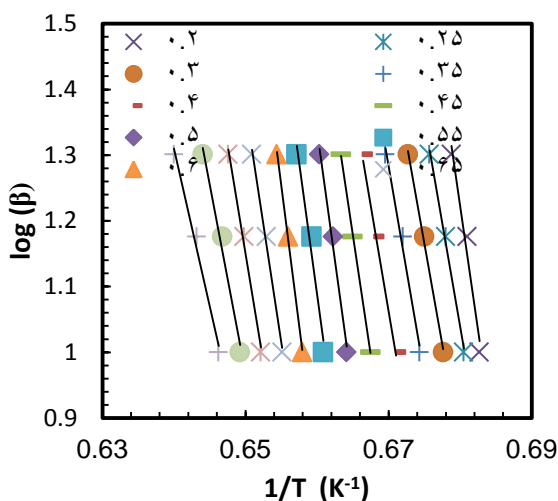
در شکل ۵، تغییرات کسر انجام واکنش، بر حسب دما برای نمونه مذکور نشان داده شده است. این متغیر مطابق با رابطه زیر محاسبه شده است:

$$\alpha = (W_0 - W_t) / (W_0 - W_f) \quad (7)$$

به ترتیب وزن اولیه نمونه، وزن نمونه در زمان t و وزن نهایی نمونه می‌باشند. چگونگی تعیین دمای شروع و پایان واکنش در شکل ۵ نشان داده شده است. دمای شروع واکنش در حدود ۱۰۳۰ °C و دمای پایان واکنش تقریباً ۱۳۳۰ °C می‌باشد.



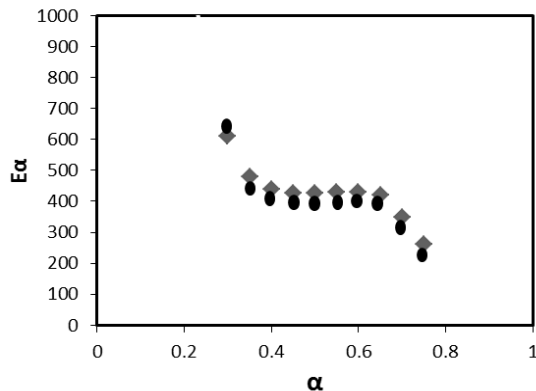
شکل (۵): تغییرات کسر انجام واکنش بر حسب دما (نرخ حرارت دهنده ۱۰ °C/min)



شکل (۸): تغییرات $\log(\beta)$ نسبت به $1/T$ با توجه به رابطه اوزاوا

تغییرات انرژی اکتیواسیون بر حسب کسر پیشرفت واکنش، با استفاده از دو روش مذکور در شکل (۹) نشان داده شده است. این تغییرات، حاکی از آن می‌باشد که روند تغییرات انرژی اکتیواسیون با کسر انجام واکنش برای هر دو روش دقیقاً مشابه است.

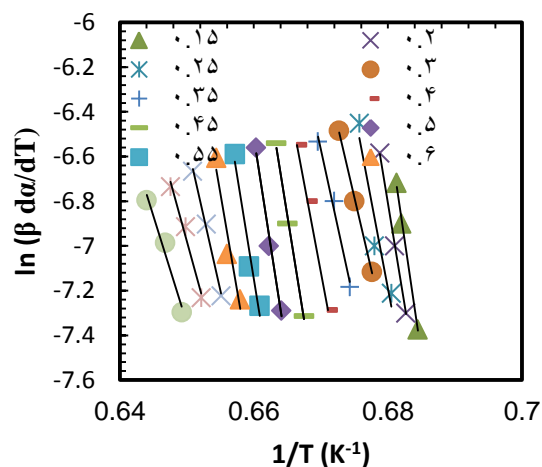
● Ozawa ◆ Fridman



شکل (۹): تغییرات انرژی اکتیواسیون بر حسب کسر پیشرفت واکنش، با استفاده از روش‌های فریدمن و اوزاوا

نکته‌ای که باید به آن توجه شود این است که در واکنش‌های حالت جامد، واکنش دارای یک مدل سینتیکی ساده نمی‌باشد و معمولاً از یک مکانیزم چندمرحله‌ای تعیت می‌کند. در این حالت انرژی اکتیواسیون اندازه‌گیری شده، انرژی اکتیواسیون ظاهری است که با تغییر کسر انجام

انتگرالی آن به صورت $\alpha g(\alpha)$ در نظر گرفته می‌شود. با رسم نمودارهای $\ln(\beta \frac{d\alpha}{dT})$ نسبت به $1/T$ در یک مقدار ثابت از α می‌توان مقادیر E_a را بدست آورد. شیب هر خط رسم شده برابر با $\frac{E_a}{R}$ می‌باشد. تغییرات $\ln(\beta \frac{d\alpha}{dT})$ نسبت به $1/T$ ، با توجه به رابطه فریدمن در شکل ۷، نشان شده است. مقادیر انرژی اکتیواسیون بدست آمده به کمک این روش در جدول (۲) ارائه شده است.



شکل (۷): تغییرات $\ln(\beta \frac{d\alpha}{dT})$ نسبت به $1/T$ با توجه به رابطه فریدمن

یکی دیگر از روش‌های بدون مدل، روش اوزاوا می‌باشد. به کمک این رابطه می‌توان مقادیر E_a را با توجه به نمودارهای $\log \beta$ بر حسب $1/T$ ، در یک مقدار مشخص از α تعیین نمود (شکل ۸). رابطه کلی این روش به صورت زیر خواهد بود:

: [۱۴]

$$\log \beta = \log \frac{AE_a}{g(\alpha)R} - 2.315 - \frac{0.4567E_a}{RT} \quad (9)$$

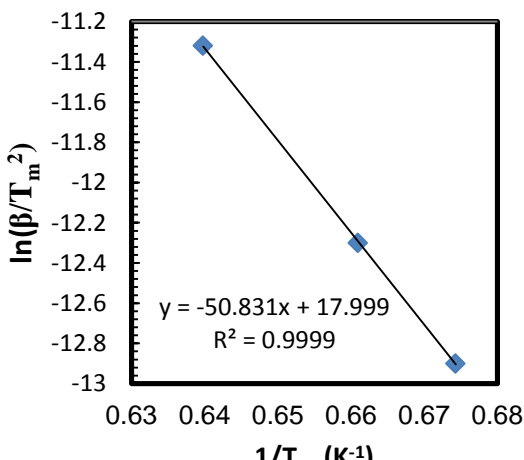
شیب هر خط رسم شده با مقدار $\frac{-0.4567E_a}{RT}$ برابر می‌باشد.

جدول (۳): دمای پیک ظاهرشده در منحنی‌های DTA با سرعت

گرمادهی مختلف

سرعت گرمادهی °C/min	دمای قله (°C)	گرمادهی	گرمادهی
۲۰	۱۵	۱۰	۱۵
۱۲۹۰	۱۲۴۰	۱۲۱۰	

با توجه به دمای‌های ارائه شده در جدول بایستی نمودار $\ln \frac{\beta}{T_m^2}$ بر حسب $1/T_m$ ، رسم شود (شکل ۱۰). با توجه به شبیه نمودار رسم شده می‌توان مقدار انرژی اکتیواسیون را به دست آورد. انرژی اکتیواسیون به دست آمده در حدود 416 kJ/mol می‌باشد که تطابق خوبی با مقدار انرژی اکتیواسیون به دست آمده توسط روش‌های فریدمن و اوزاوا دارد.

شکل (۱۰): نمودار $\ln \frac{\beta}{T_m^2}$ بر حسب $1/T_m$ با توجه به رابطه کسینجر

۳-۳- روش برآوردن مدل (کوتز-ردفرن)
روش کوتز-ردفرن، یکی از روش‌هایی است که در بررسی‌های سیستیکی واکنش‌های حالت جامد (در حالت غیر هم‌دما)، همواره مورد توجه بوده و کاربرد زیادی داشته است. معادله نهایی حاصل از تقریب کوتز-ردفرن به صورت زیر ارائه شده است [۱۸]:

$$\ln \frac{g(\alpha)}{T^2} = \ln \frac{AR}{\beta E_a} - \frac{E_a}{RT} \quad (11)$$

بر اساس این روش اگر مکانیزم صحیحی برای واکنش پیش‌بینی شود، تغییرات $(\ln(g(\alpha)/T^2))$ بر حسب $1/T$ ، خطی خواهد شد. انرژی اکتیواسیون از روی شبیه خط و ضریب پیش‌نمایی با توجه به عرض از مبدأ خط رسم شده، قابل محاسبه خواهد بود [۱۸-۱۹]. نتایج به دست آمده از

واکنش تغییر خواهد کرد. از آنجایی واکنش به صورت احیای حالت جامد آغاز می‌شود، مقادیر انرژی اکتیواسیون در ابتدا بالاست. با افزایش دما و فعال شدن واکنش بودوارد و درنتیجه احیا در حالت جامد-گاز، انرژی اکتیواسیون نسبت به ابتدای واکنش با کاهش رو به رو می‌شود. همان‌طور که مشاهده می‌شود در شروع و پایان واکنش با افزایش کسر پیشرفت واکنش، انرژی اکتیواسیون کاهش یافته است. کاهش انرژی اکتیواسیون با پیشرفت واکنش در موارد مختلفی گزارش شده است [۱۵-۱۶]، تغییرات انرژی اکتیواسیون حاکی از آن می‌باشد که در محدوده مشخصی از کسر انجام واکنش (α از $0/۳۵$ تا $۰/۶۵$) تقریباً مقدار ثابت بوده است. کاهش انرژی اکتیواسیون در انتهای واکنش می‌تواند به دلیل تغییر مکانیزم واکنش در این محدوده باشد. مقادیر انرژی اکتیواسیون و ضریب همبستگی محاسبه شده در روش‌های اوزاوا و فریدمن در جدول (۲) ارائه شده است.

جدول (۲): مقادیر انرژی اکتیواسیون و ضریب همبستگی (α از $0/۳۵$ تا $۰/۶۵$) محاسبه شده در روش‌های فریدمن و اوزاوا.

مدل	$E_a(\text{kJ}\cdot\text{mol}^{-1})$	R^2
فریدمن	۴۲۵	۰/۹۹۹
اوزاوا	۴۱۹	۰/۹۹۹

- روش کسینجر

برای تعیین انرژی اکتیواسیون مطابق با رابطه کسینجر (رابطه ۱۰)، بایستی دمای پیک ظاهرشده در منحنی DTA با سرعت‌های گرمادهی 10 ، 15 و 20 درجه سانتی‌گراد بر دقيقه تعیین شود (جدول ۳) همان‌طور که از جدول مشاهده می‌شود با افزایش سرعت گرمادهی، دمای پیک مذکور افزایش پیدا کرده است که حاکی از وابستگی تحولات درونی مخلوط پودری موردنظر با دماس است [۱۷].

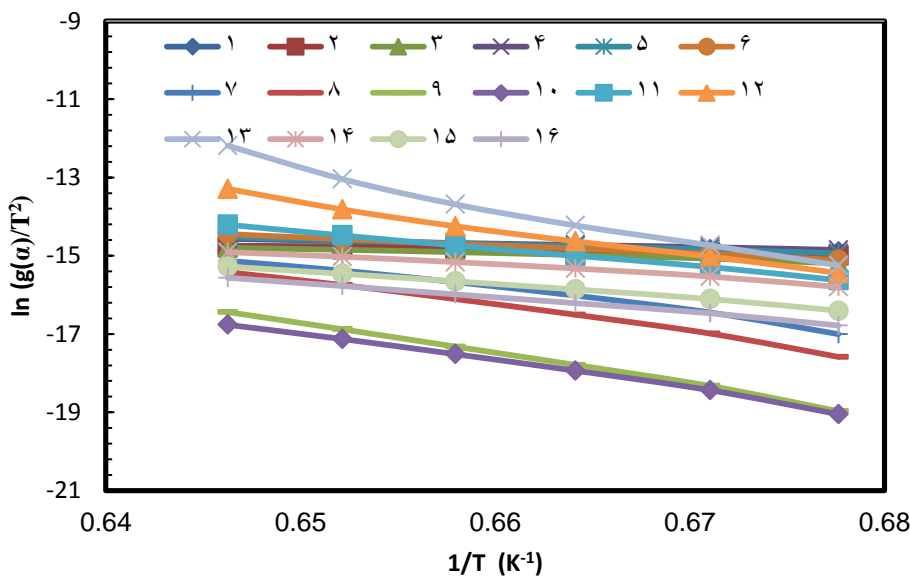
$$\frac{d\left(\ln \frac{\beta}{T_m^2}\right)}{d\left(\frac{1}{T_m}\right)} = -\frac{E}{R} \quad (10)$$

نتایج به دست آمده از آنالیز وزن سنجی با نرخ حرارتی $10^{\circ}\text{C}/\text{min}$ ، صورت گرفته است. در جدول (۵)، پارامترهای سینتیکی به دست آمده مربوط به مدل‌های مختلف، ارائه شده است.

روش‌های بدون مدل نشان داد که انرژی اکتیواسیون در محدوده α از $0/35$ تا $0/65$ تقریباً مقداری ثابتی بوده لذا تغییرات $\ln(g(\alpha)/T^2)$ ، بر حسب $1/T$ ، با توجه به مدل‌های ارائه شده در جدول (۴)، برای مقادیر α از $0/35$ تا $0/65$ رسم گردیده است (شکل ۱۱). محاسبات این بخش با توجه به

جدول (۴): مدل‌های سینتیکی واکنش‌های حالت جامد بر حسب $f(\alpha)$ و $g(\alpha)$ [۱۸]

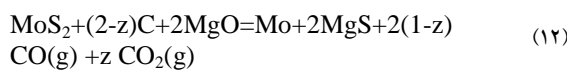
مدل	مدل واکنش	$f(\alpha)$	$g(\alpha)$
مدل‌های جوانه‌زنی			
1	Power low	$4\alpha^{3/4}$	$\alpha^{1/4}$
2	Power low	$3\alpha^{2/3}$	$\alpha^{1/3}$
3	Power low	$2\alpha^{1/2}$	$\alpha^{1/2}$
4	Avrami-Erofeev	$4(1-\alpha)[-ln(1-\alpha)]^{3/4}$	$[-ln(1-\alpha)]^{1/4}$
5	Avrami-Erofeev	$3(1-\alpha)[-ln(1-\alpha)]^{2/3}$	$[-ln(1-\alpha)]^{1/3}$
6	Avrami-Erofeev	$2(1-\alpha)[-ln(1-\alpha)]^{1/2}$	$[-ln(1-\alpha)]^{1/2}$
مدل‌های نفوذی			
7	One dimensional diffusion	$1/2\alpha^{-1}$	α^2
8	Tow dimensional diffusion	$1/[-ln(1-\alpha)]$	$(1-\alpha)ln(1-\alpha)+\alpha$
9	Three dimensional diffusion	$2(1-\alpha)^{2/3} [1-(1-\alpha)^{1/3}]^{-1}$	$[1-(1-\alpha)^{1/3}]^2$
10	Three dimensional diffusion	$3/2[(1-\alpha)^{-1/3}-1]^{-1}$	$1-2/3\alpha-(1-\alpha)^{2/3}$
مدل‌های شیمیابی			
11	Mampel	$1-\alpha$	$-ln(1-\alpha)$
12	Second-order	$(1-\alpha)2$	$(1-\alpha)^{-1}-1$
13	Tird-order	$(1-\alpha)3$	$0/5 [(1-\alpha)^{-2}-1]$
14	Zero-order	1	α
مدل‌های فصل مشترکی			
15	Phase-boundary Controlled reaction(Contracting area)	$2(1-\alpha)^{1/2}$	$1-(1-\alpha)1/2$
16	Phase-boundary Controlled reaction(Contracting Volume)	$3(1-\alpha)^{2/3}$	$1-(1-\alpha)^{1/3}$



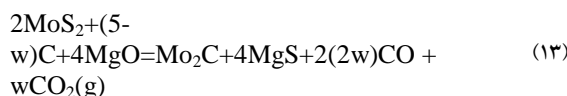
شکل (۱۱): تغییرات $\ln(g(\alpha)/T^2)$ بر حسب $1/T$ ، برای مدل‌های مختلف.

۴-۳- مکانیزم احیا

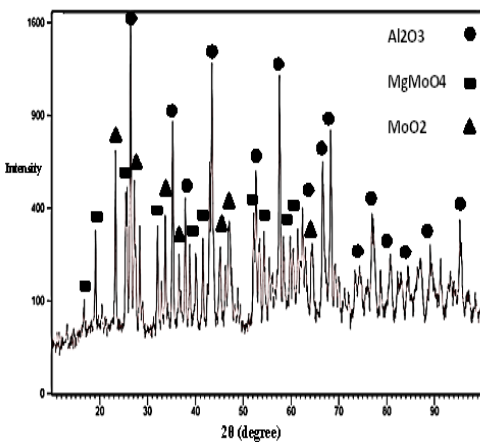
احیای مولیبدنیت با کربن در حضور اکسید منیزیم در گسترهٔ دمایی 900°C تا 1400°C را می‌توان با واکنش کلی زیر بیان نمود که منجر به تولید مولیبدن فلزی می‌شود:



و در مواردی که کاربید تشکیل می‌شود واکنش کلی احیا را می‌توان توسط واکنش زیر بیان نمود:



کاربیدهای دیگر مثل MoC در این گسترهٔ دمایی ناپایدارند. در این واکنش‌ها w ، به ترمودینامیک و سینتیک واکنش‌های میانی، وابسته هستند. بهمنظور تعیین فازهای میانی تشکیل شده در طول فرآیند، آزمایش‌های هم-دما تحت دو دمای 820°C و 960°C ، صورت گرفت (دمای آزمایش‌ها با توجه به منحنی‌های بهدست‌آمده از آنالیز حرارتی (STA) انتخاب شدند). الگوهای XRD، بهدست‌آمده از این آزمایش‌ها در شکل‌های ۱۲ و ۱۳ نشان داده شده است. فازیابی صورت گرفته بر روی نمونه‌ای که تحت دمای 820°C قرار گرفته، حاکی از حضور MoO_2 و MgMoO_4 می‌باشد.



شکل (۱۲): الگوی XRD، محصول حاصل از احیا تحت شرایط هم‌دما در دمای 820°C

بهمنظور انتخاب مدل مناسب دو فرضیه مهم را باید در نظر گرفت:

۱- در واکنش‌های حالت جامد ضریب پیش‌نمایی بایستی در محدوده 10^{16} sec^{-1} باشد [۲۰].

۲- مدل مناسب، مدلی است که بالاترین ضریب تطابق را داشته باشد.

با توجه به فرضیات ارائه شده مدل‌های ۱۱ (مدل کنترل شیمیایی) و ۱۶ (مدل کنترل شیمیایی در فصل مشترک) بالاترین تطابق را دارند. انتظار می‌رود که مدل حاکم بر واکنش، یکی از دو مدل مذکور باشد. با مقایسه مقادیر انرژی اکتیواسیون مدل‌های قابل قبول، با مقادیر بهدست‌آمده توسط روش‌های بدون مدل (فریدمن و اوزاوا) و روش کسینجر مشاهده می‌شود که مقادیر انرژی اکتیواسیون بهدست‌آمده توسط روش‌های مذکور تطابق بسیار خوبی با انرژی اکتیواسیون مدل ۱۱ دارند. بنابراین پیش‌بینی می‌شود که مکانیزم حاکم بر واکنش کنترل شیمیایی و مقدار انرژی اکتیواسیون آن در حدود 425 kJ/mol (با توجه به مدل ۱۱) می‌باشد.

جدول (۵): پارامترهای سینتیکی محاسبه شده با استفاده از تقریب کوتز-ردفون

شماره مدل	R^2	E (kJ.mol ⁻¹)	A (sec ⁻¹)
۱	0.994	۴۷/۲۷	۰/۰۰۰۴
۲	0.95	۶۳/۶۱۸	۰/۰۰۴
۳	0.962	۱۰۸/۱۲۳	۰/۲۱۱
۴	0.999	۸۷/۴۴۶	۰/۰۴۳
۵	0.999	۱۲۵/۰۵۹	۱/۱۹۸
۶	0.999	۲۰۰/۲۶۷	۷۱۱/۱۶۱
۷	0.972	۵۱/۶۲۵	۲/۱۷۸X1. ^۳
۸	0.986	۶۰۴/۳۴۴	۳/۲۴۶X1. ^{۱۰}
۹	0.996	۷۳۴/۱۲۶	۳/۳۸۵X1. ^{۰۷}
۱۰	0.99	۶۴۶/۷۸۷	۲/۰۹۳X1. ^۰
۱۱	0.999	۴۲۵/۹۱۷	۷/۶۶۰X1. ^{۱۰}
۱۲	0.986	۷۰۲/۸۳۲	۷/۰۵۷X1. ^۰
۱۳	0.985	۱۰۵۵/۷۱۱	۲/۶۴۱X1. ^{۰۷}
۱۴	0.989	۲۴۱/۶۲۱	۱/۹۴۷X1. ^۰
۱۵	0.992	۳۲۲/۵۲۵	۶/۴۹۸X1. ^۰
۱۶	0.996	۳۵۴/۲۷۵	۶/۳۴۰X1. ^۰

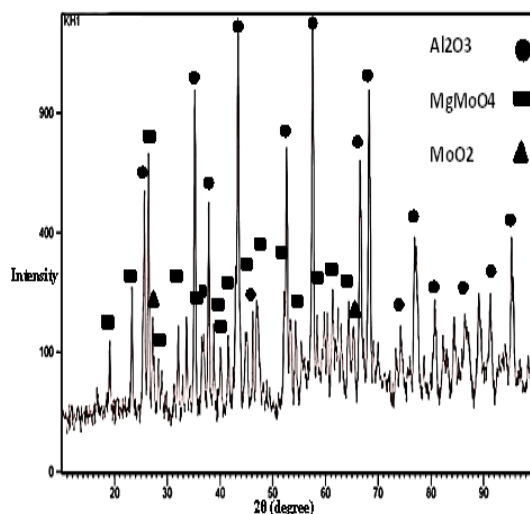
احیا ادامه می‌یابد. در این مرحله فرآیندهای انجام واکنش بودوارد، نفوذ گازهای CO و CO₂ از درون لایه محصول و نفوذ یون‌های منیزیم، اکسیژن و مولیبدن جهت رسیدن به یکدیگر برای تشکیل فاز به صورت هم‌زمان انجام می‌شوند؛ اما از میان موارد مذکور، نفوذ یون‌های منیزیم و اکسیژن و مولیبدن نمی‌تواند گزینه مناسبی برای مرحله دارای کمترین سرعت احیا باشد. چراکه در قسمت ترمودینامیک واکنش دیده شد که مخلوط MoS₂-MgO ناپایدار بوده و با توجه به ترکیب گاز غالب و اکسیویته مواد اولیه می‌تواند به شکل دیده شد که مخلوط MoS₂-MgO ناپایدار بوده و با توجه به ترکیب گاز غالب و اکسیویته مواد اولیه می‌تواند به شکل Mo-MgS MgMoO₄-MgS یا Mo₂C تشکیل شود [۱۲]. بنابراین نفوذ جزء گازی نمی‌تواند کنترل‌کننده واکنش باشد. واکنش بودوارد یک واکنش گرم‌گیر با انرژی اکتیواسیون بالاست. همچنین در پژوهش‌های صورت گرفته در زمینه احیای فلزات، عنوان شده است که واکنش گازی شدن کربن نسبت به واکنش احیای اکسید آن کندر است [۲۰-۲۳]. بنابراین در این مرحله انجام واکنش بودوارد می‌تواند کندرین مرحله و کنترل‌کننده سرعت واکنش احیا باشد. در انتهای واکنش نیز که دما بالاست و واکنش بودوارد به راحتی انجام می‌شود. بنابراین دیگر نمی‌تواند کنترل‌کننده سرعت واکنش باشد و مکانیزم تغییر می‌کند.

۴- نتیجه‌گیری

- احیای کربو ترمی مولیبدنیت در حضور اکسید منیزیم در محدوده دمایی ۹۰۰°C تا ۱۴۰۰°C امکان پذیر بوده و با تشکیل فازهای میانی MoO₂ و MgMoO₄ پیش می‌رود.
- فرآیند دارای یک مکانیزم چند مرحله‌ای بوده و در محدوده مشخص از کسر انجام واکنش (α) از ۰/۳۵ تا ۰/۶۵ مکانیزم واکنش ثابت می‌باشد. مکانیزم حاکم بر واکنش کنترل شیمیایی و مقدار انرژی اکتیواسیون آن در حدود ۴۲۵ kJ/mol می‌باشد.

۵- مراجع

- [1] R. Ebrahimi-Kahrizsangi, M. H. Abbasi & A. Saidi, "Machanochemical effects on the Molybdenite Roasting Kinetics", Chemical Engineering Journal, Vol. 121, pp. 65-71, 2006.

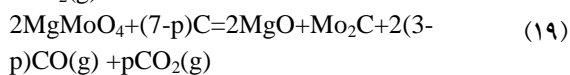
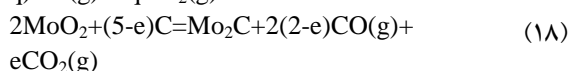
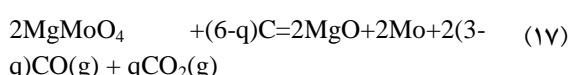


شکل (۱۳): الگوی XRD، محصول حاصل از احیا تحت شرایط هم‌دما در دمای ۹۶۰°C

با توجه به نتایج بدست آمده به نظر می‌رسد که واکنش از طریق شکل گیری فازهای میانی (اکسیدهای مولیبدن) و بر اساس واکنش‌های زیر پیش می‌رود:



اکسیدهای مولیبدن MoO₂ و MgMoO₄ در حضور کربن می‌توانند به Mo₂C یا Mo₂O₃ احیا شوند:



e، p و r به ترمودینامیک واکنش‌های مذکور وابسته‌اند. واکنش‌های ارائه شده، در ابتدا پیشرفت خوبی از خود نشان می‌دهند، اما با گذشت زمان و تشکیل Mo₂C یا Mo₂O₃ تحت کنترل نفوذ حالت جامد مشکل می‌شود. این امر به خاطر ایجاد لایه محصول تشکیل شده روی واکنش‌دهنده‌هاست. بنابراین احیا اکسیدهای مذکور تحت دمای بالاتر و فعال شدن واکنش بودوارد، عمدتاً با CO صورت می‌گیرد. گاز CO₂ تولید شده از مرحله احیا مجدداً با انجام واکنش بودوارد، به گاز احیاکننده CO تبدیل می‌شود و واکنش

- Application to a phenolic plastic", Journal of polymer Science, Vol. 6, pp. 183-195, 1964.
- [14] J. T. Sun, Y. D. Huang & G. F. Gong, "Thermal degradation kinetic of poly (methyl phenyls iloxane) containing methacryloyl groups", Polymer Degradation and Stability, Vol. 91, pp. 339-346, 2006.
- [15] S. L. Niu, J. L. Han & J. L. Zhao, "Thermogravimetric analysis of combustion characteristics and kinetic parameters of pulverized coals in oxy-fuel atmosphere", Journal of Thermal Analysis and Calorimetric, Vol. 98, pp. 267-274, Oct. 2009.
- [16] H. M. Xiao, & K. Liu, "Co-combustion kinetics of sewage sludge with coal and coal gangue under different atmospheres", Energy Conversion and Management, Vol. 51, pp. 1976-1980, Oct. 2010.
- [17] H. E. Kissinger, "Variation of peak Temperature with Heating reduction Differential Thermal Analysis", Journal of Research of the National Bureau of standards, Vol. 57, pp. 217-221, Oct 1956.
- [18] A. W. Coats & J. P. Redfern, "Kinetic parameters from the thermogravimetric data", Nature (London), Vol. 201, pp. 68-69, 1964.
- [19] P. Ptacek & D. Kubatova, "Isothermal kinetic analysis of the thermal decomposition of kaolinite: the thermogravimetric study", Thermochimica Acta, Vol. 501, pp. 24-29, 2010.
- [۲۰] ر. ابراهیمی کهریزسنگی، "بررسی سینتیک اکسیداسیون مولیدنیت در شرایط غیر همدما و اثرات فعل اسازی مکانیکی بر آن"، دانشکده مهندسی مواد، دانشگاه صنعتی اصفهان، رساله دکتری، ۱۳۸۵.
- [21] P. M. Prasad & P. S. Rao, "Molycarbide by Reduction-Carborization of Molybdenite in presence of lime", Metallurgical and Materials Transaction B, Vol. 33, pp. 345-354, 2002.
- [22] C. H. Zhang & J. Dong, "Thermal degradation kinetics of chitosan-cobalt complex studied by thermogravimetric analysis", Carbohydrate Polymers, Vol. 82, pp. 1284-1289, 2010.
- [23] V. Vlaev, N. Nedelchev & M. Zagorcheve, "A Comparation study of non-isothermal kinetics of decomposition on of Calcium oxalate monohydrate", Journal of Analytical and Applied Pyrolysis, Vol. 81, pp. 253-262, 2008.
- [۲] س. جبارزارع و س. عموشاهی فروشاهی، "بررسی لیچینگ غبار تشویه مولیدنیت"، فصلنامه علمی پژوهشی فرآیندهای نوین در مهندسی مواد، سال سوم، شماره چهارم، زمستان ۱۳۸۸.
- [3] S. Ghasemi-Najafabadi, M. H. Abbasi & A. Saidi, "Thermodynamic investigation of lime-enhanced molybdenite reduction using methane-containing gases", Thermochimica Acta, Vol. 3, pp. 46-54, 2010.
- [4] S. Majumdar & I. G. Sharma, "Kinetic studies on hydrogen reduction of MoO₃ and morphological analysis of reduced Mo powder", Metallurgical and Materials Transaction B, Vol. 39, pp. 431-438, 2008.
- [۵] ع. زلفی گسمونی، ع. سعیدی و اج. امامی، "بررسی تأثیر همزمان کربن و روی بر فرآیند احیای مکانوشیمیایی اکسید مس"، فصلنامه علمی پژوهشی فرآیندهای نوین در مهندسی مواد، سال دهم، شماره چهارم، زمستان ۱۳۹۴.
- [6] M. Afsahi & M. Sohrabi, "A study on the kinetics of Hydrogen reduction of molybdenum disulphide powders", Thermochim. Acta., Vol. 473, pp. 61-67, 2008.
- [7] R. Padilla, M. C. Ruiz & H. Y. Sohn, "Reduction of Molybdenite with Carbon in the presence of Lime", Metallurgical and Materials Transaction B, Vol. 28B, pp. 265-274, 1997.
- [8] J. Khaki, S. Soleimani & M. Moosavi-Nejad, "Direct Reduction of Sarcheshme Copper Sulfide Concentrate with Carbon in the Presence of Lime", Iranian Journal of Materials Science, Vol. 4, No.1 and 2, 2007.
- [9] P. Balaz & T. Havlik, "Hydrometallurgy: introduction", International journal of mineral processing, Vol. 77, pp. 9-17, 2005.
- [10] H. Huiping & C.H. Qiyan, "Mechanism Of Mechanical Activation for Sulfide ores", Transaction Nonferrous Metal Soc china, pp. 205-213, 2007.
- [۱۱] ک. شیبانی، م. ح. تذریجی، م. عباسی و م. شمعانیان، "بررسی سینتیک احیای کربوترمی مولیدنیت در حضور کربنات سدیم"، مواد پیشرفته در مهندسی، سال ۳۳، شماره ۲، پاییز ۱۳۹۳.
- [۱۲] خ. بیرونده، م. ح. عباسی و ع. سعیدی، "بررسی ترمودینامیکی احیای کربوترمی مولیدنیت در حضور اکسید منیزیم"، مواد پیشرفته در مهندسی، سال ۳۱، شماره ۱، ۱۳۹۱.
- [13] H. Friedman, "Kinetics of thermal degradation of char-forming plastic from thermogravimetry

Kinetics of Carbothermic Reduction of Molybdenite in the Presence of Magnesium Oxide

Khadijeh Biranvand^{1*}, Mohammad Hasan Abbasi², Ali Saidi³

1-M.Sc., Department of Materials Engineering, Isfahan University of Technology, Iran

2-Assistant Prof., Department of Materials Engineering, Isfahan University of Technology, Iran

3-Assistant Prof., Department of Materials Engineering, Isfahan University of Technology, Iran

*Corresponding author: kh.biralvand@gmail.com

Abstract

In this research, the kinetics of carbothermic reduction of molybdenite in the presence of magnesium oxide was studied. Powder samples with a stoichiometric ratio (molybdenite: magnesium oxide: Graphite 1: 2: 2) prepared under simultaneous thermal analysis (STA), with three heating rates of 10, 15 and 20 degrees per minute, respectively. A series of experiments were performed under isothermal argon atmosphere, to determine the intermediate phases formed during the process. The results showed that the process temperature range was 900 °C to 1400 °C and with the formation of intermediate phases of molybdenum oxide (MoO_2) and magnesium molybdate (MgMoO_4) goes. Kinetic investigations were done with the free model methods such as Friedman, Ozawa and Kissinger as well as model fitting method Coats - Redfern. The results of all methods were in good agreement with each other and suggested that the mechanism of the reaction was chemical control and activation energy was about 425 KJ/mol.

Keywords: Kinetics, Carbothermic Reduction, Molybdenite, Magnesium Oxide.

Journal homepage: ma.iaumajlesi.ac.ir

Please cite this article using:

Khadijeh Biranvand, Mohammad Hasan Abbasi, Ali Saidi, Kinetics of Carbothermic Reduction of Molybdenite in the Presence of Magnesium Oxide, New Process in Material Engineering, 2020, 14(2), 27-37.